

江都中学 2019—2020 学年度第一学期调研测试试题

高二地理

2019. 11

命题人 朱颖 审核人 汤小林

一、选择题：共 60 分

(一) 单项选择题 (24 小题，每小题 1.5 分，共 36 分)

图 1 为“某地二分二至日太阳视运动示意图”。读图回答 1-2 题。

1. 图中曲线①和③分别表示(对北半球而言的)()

A. 冬至和夏至	B. 夏至和冬至
C. 冬至和春(秋)分	D. 春分和秋分
2. 该地点最可能是()

A. 呼和浩特(41°N, 112°E)	B. 墨尔本(38°S, 145°E)
C. 旧金山(37°N, 122°W)	D. 巴西利亚(15.5°S, 48°W)

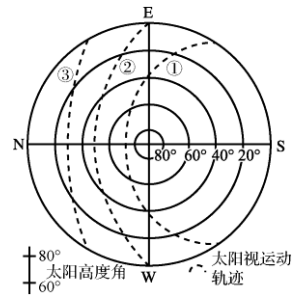


图 1

2018 年暑假期间，扬州某同学从乞力马扎罗山脚下的 Moshi 镇出发，一周后于当地时间 7 月 15 日 8:00 成功登顶。图 2 为东非部分地区简图，图 3 为该同学在登山过程中手绘的乞力马扎罗山植被分布示意图。完成 3-4 题。

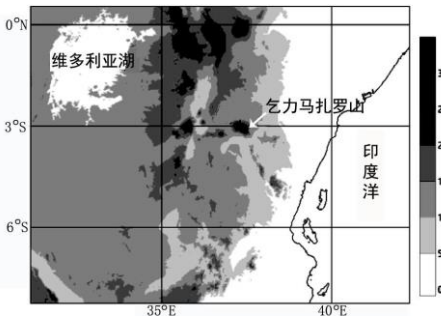


图 2

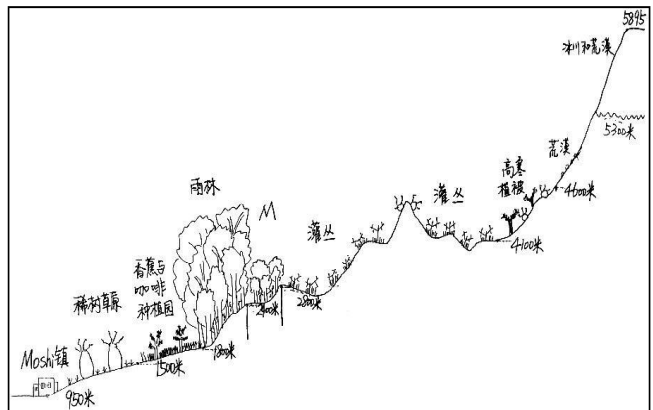


图 3

3. 该同学攀登乞力马扎罗山期间

A. 扬州的白昼变长黑夜变短	B. 登顶时刻扬州正值日出时刻
C. 当地正午太阳高度逐渐增大	D. 登顶时刻太阳位于正东方向
4. 据图判断

A. 登山线路起点为热带雨林带	B. M 地自然植被可能是常绿阔叶林
C. 从山麓到山顶，热量和水分条件逐渐变差	D. 海拔越低，人类开发利用强度越大

3 月 21 日一位在雅加达工作的王先生，在微信朋友圈中分享了在当地拍摄的日出照片。图 4 是王先生拍摄的照片和位置示意图。据此回答 5~6 题。

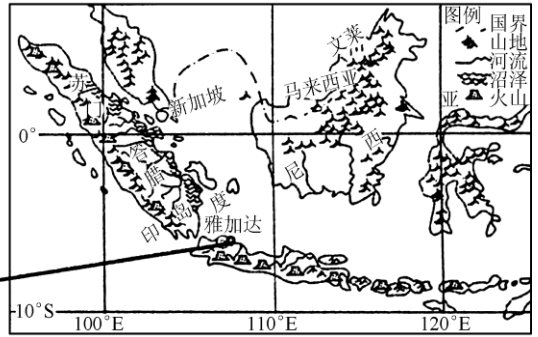


图 4

5. 王先生拍摄该照片时, 北京时间最可能是
 A. 6时 2分 B. 6时 58分 C. 7时 35分 D. 8时 13分
6. 印尼是世界上地质灾害发生最频繁地区之一, 下列与其成因无关的是
 A. 地处板块边界, 地壳运动活跃
 B. 山地丘陵广布, 地形起伏较大
 C. 年降水量丰富, 以对流雨为主
 D. 所处纬度较低, 沿海沼泽广布

古丈红石林位于湘西自治州古丈县境内, 形成于 4.5 亿年前, 是全球罕见的红色碳酸盐岩石林景区。图 5 为该地景观图, 图 6 为岩石圈物质循环示意图。回答 7-8 题。

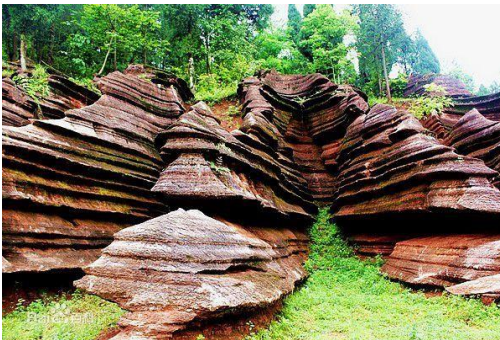


图 5

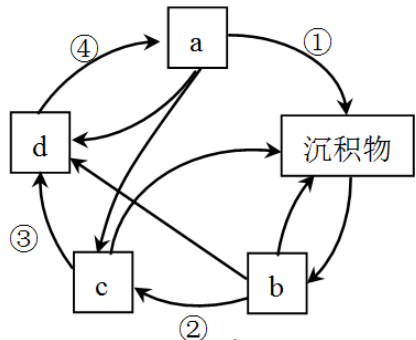


图 6

7. 古丈红石林的岩石属于图 6 中的
 A. a B. b C. c D. d
8. 形成古丈红石林景观的地质作用先后顺序是
 A. 岩浆活动、变质作用、流水侵蚀 B. 岩浆活动、变质作用、风力侵蚀
 C. 沉积作用、地壳运动、流水侵蚀 D. 沉积作用、地壳运动、风力侵蚀

图 7 为石羊河流域图。读图完成 9-10 题。

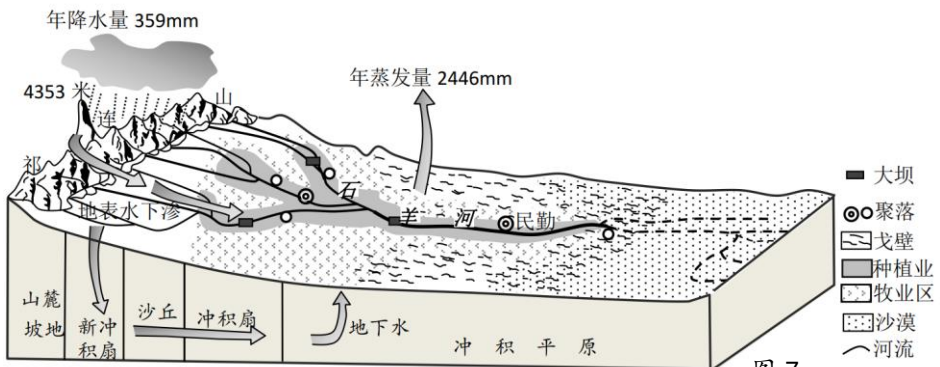


图 7

9. 有关该流域说法正确的是

- A. 风力搬运作用改变了冲积扇位置
- B. 石羊河主要参与了海陆间水循环
- C. 石羊河主要补给水源是大气降水
- D. 聚落多沿河分布且水源条件较好

10. 该区域修建大坝的主要目的

- A. 防御洪涝灾害
- B. 开发水能资源
- C. 蓄水灌溉农田
- D. 发展水产养殖

图 8 为某区域高空等压面空间分布示意图。读图完成 11-12 题。

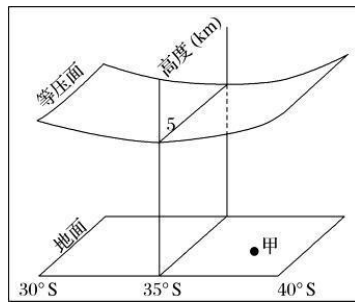


图 8

11. 据图判断, 甲地此时的风向最可能为

- A. 东南风
- B. 西北风
- C. 东北风
- D. 西南风

12. 图中所示季节

- A. 北印度洋形成顺时针环流圈
- B. 华北平原冬小麦返青
- C. 扬州地区高温多雨
- D. 巴西高原草木葱茏

图 9 示意世界局部地区气压带、风带分布情况。读图完成 13-14 题。

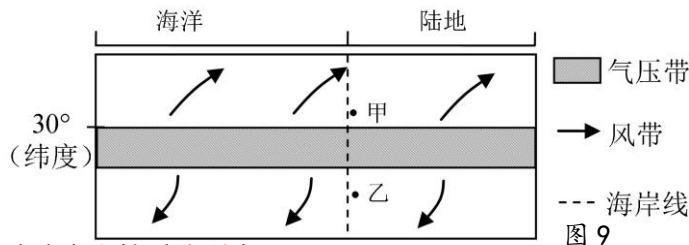


图 9

13. 乙地附近的洋流流向和性质分别为

- A. 向北、暖流
- B. 向北、寒流
- C. 向南、暖流
- D. 向南、寒流

14. 图示时间甲地比乙地

- A. 黑夜更长
- B. 正午太阳高度更大
- C. 降水量更少
- D. 平均气温更高

图 10 为我国某地所测得的等高线地形图。根据图中信息, 完成 15-16 题。

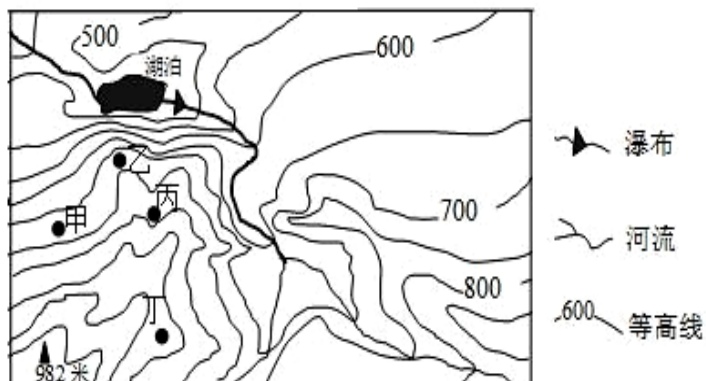


图 10

15. 图 10 中甲、乙、丙、丁四地中，最容易出现泥石流灾害的是

- A. 甲 B. 乙 C. 丙 D. 丁

16. 图 10 中湖泊附近有一瀑布，瀑布落差 32 米，图中湖泊湖面与图示区域最高点之间的相对高度最有可能为

- A. 520 米 B. 514 米 C. 532 米 D. 540 米

图 11 为“西班牙农业类型分布示意图”。读图回答 17~18 题。

17. 下面有关甲、乙、丙三地与农业类型对应正确的是

- A. 甲—乳肉畜牧业，乙—谷物种植业和养羊业，丙—葡萄、柑橘、橄榄和蔬菜
 B. 甲—葡萄、柑橘、橄榄和蔬菜，乙—谷物种植业和养羊业，丙—乳肉畜牧业
 C. 甲—乳肉畜牧业，乙—葡萄、柑橘、橄榄和蔬菜，丙—谷物种植业和养羊业
 D. 甲—谷物种植业和养羊业，乙—乳肉畜牧业，丙—葡萄、柑橘、橄榄和蔬菜

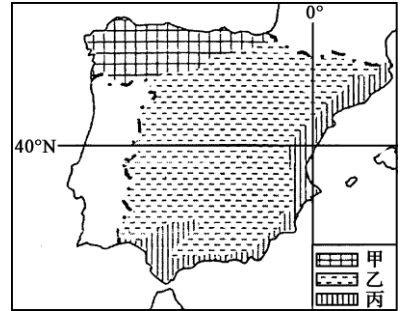


图 11

18. 甲农业区农业生产有利的气候条件是

- A. 市场需求量大 B. 光照充足
 C. 雨热同期 D. 温和湿润

1958 年竺可桢在《中国的亚热带》一文中指出：我国亚热带北界接近 34°N，即淮河、秦岭一线直至 104°E 南界横贯台湾中部和雷州半岛南部。图 12 为中国主要山脉和经纬网叠加图，图中经纬线间隔度数相等，黑点为中国领土四至点。完成 19-20 题。

19. 图中表示秦岭的是

- A. ① B. ②
 C. ③ D. ④

20. 北半球亚热带在我国分布总体偏南，这是因为我国

- A. 夏季南北普遍高温
 B. 冬季气温南高北低
 C. 地形阻挡了夏季风深入西北
 D. 冬季风势力强且影响范围广

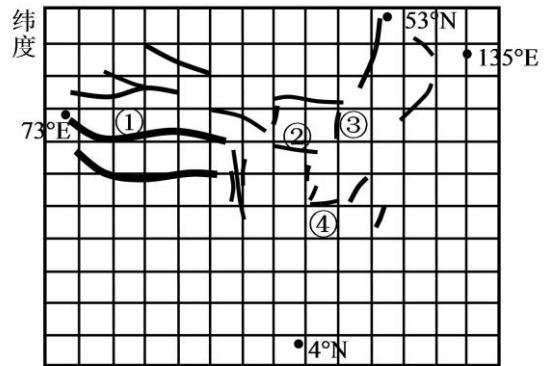


图 12

2018 年 9 月 16—17 日，受台风“山竹”的影响，常熟、海门、深圳三地出现特大暴雨。图 13 为“2018 年 9 月 16 日 23 时中国部分地区气象要素分布图”。读图回答 21-22 题。

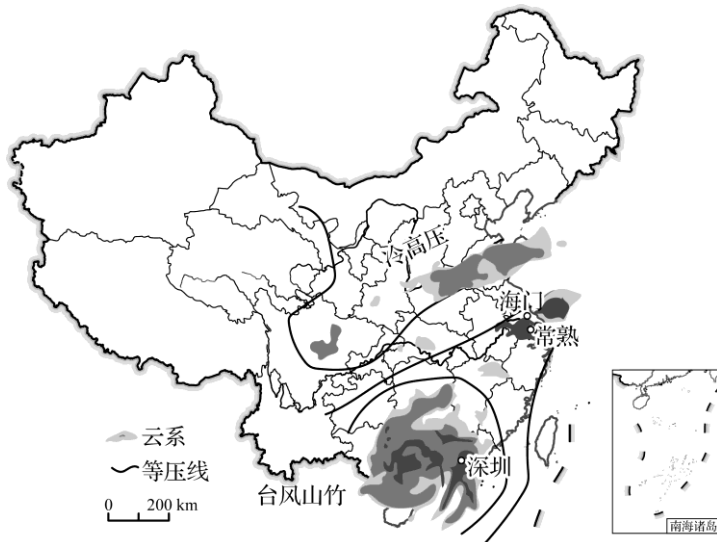


图 13

21. 常熟、海门出现暴雨的主要原因是

- A. 位于长江的两岸，水汽充足
- B. 受江淮准静止锋的长时间控制
- C. 副热带高压强盛，夏季风强
- D. 受低压槽影响，冷暖气流交汇

22. 此次台风

- A. 缓解江苏伏旱旱情
- B. 增大广东地质灾害风险
- C. 引发四川暴雨洪涝
- D. 扩大山东盐碱土地面积

弃风是指在风电发展初期，风机处于正常情况下，由于当地电网接纳能力不足等原因，导致部分风电场风机暂停发电的现象。图 14 为我国弃风情况分布图，完成 23-24 题。

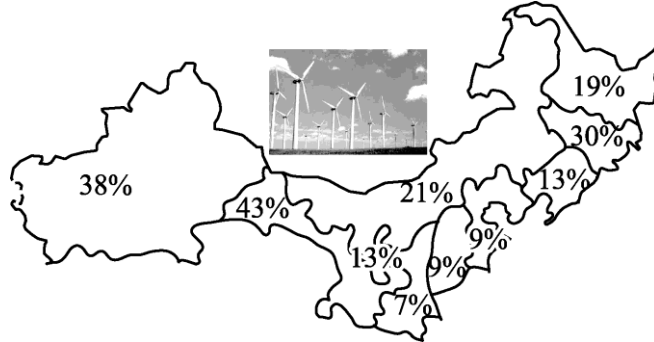


图 14

23. 图示地区风力发电的有利条件是()

- A. 距冬季风源地近，风力强劲
- B. 人口众多，劳动力丰富
- C. 经济发达，技术水平高
- D. 能源短缺，需求量大

24. 由燃煤发电取代部分弃风电量，带来的影响有()

- A. 用电需求下降
- B. 二氧化碳排放量增加
- C. 导致酸雨范围向北扩大
- D. 利于能源结构调整

(二) 双项选择题：(8 小题，每小题 3 分，共 24 分；错选、少选或多选不得分)。

2019 年 1 月某日三峡库区出现云海日出奇观，图 15 为某记者拍摄的照片。图 16 为“大气受热过程示意图”。读图回答 25-26 题。



图 15

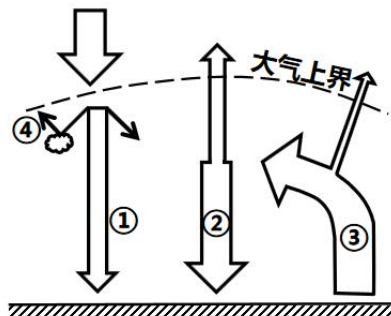
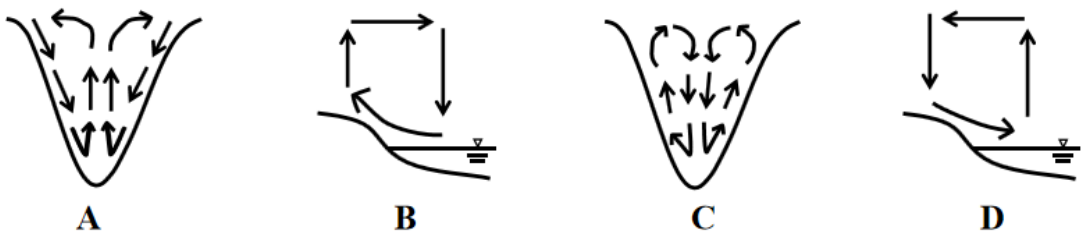


图 16

25. 三峡库区云海形成原理与下列大气热力环流模式相符的有



26. 受云海影响, 三峡库区大气受热过程对应于图 16 中
 A. ①增大 B. ②增大 C. ③减小 D. ④减小

图 17 为某时刻澳大利亚海平面等压线分布图。读图完成 27-28 题。

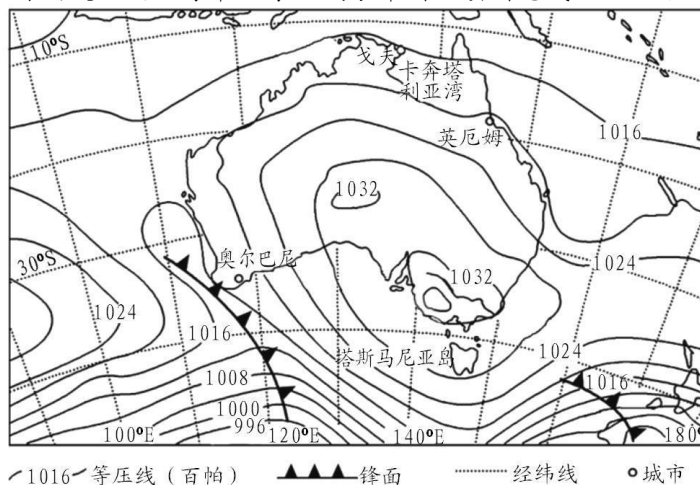


图 17

27. 图示时刻
 A. 戈夫气压值比英厄姆小 B. 卡奔塔利亚湾北风酷热
 C. 澳大利亚中部气流辐散 D. 塔斯马尼亚岛阴雨绵绵
28. 未来几天, 奥尔巴尼的天气变化可能为
 A. 空气湿度减小 B. 温度明显回升
 C. 风向转为偏南风 D. 昼夜温差减小

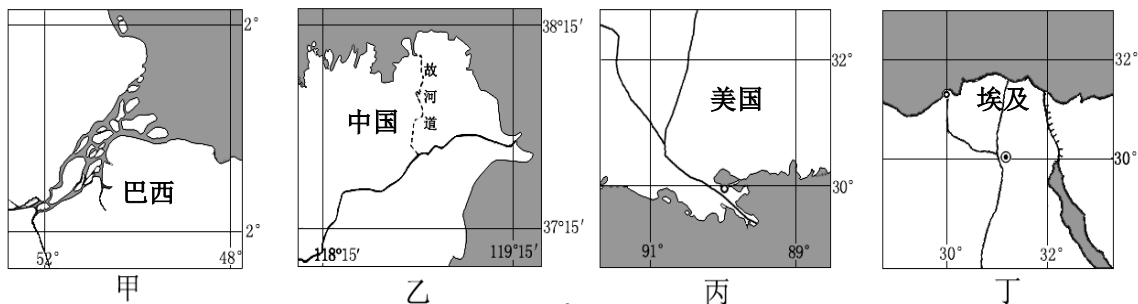


图 18

29. 关于图中四条河流的叙述, 正确的是
 A. 甲、乙、丙、丁四条大河注入相同的海洋
 B. 乙河流汛期较短, 含沙量大, 有结冰期
 C. 丙、丁两河流入海口附近地区高温期与多雨期一致
 D. 丙河流航运价值大
30. 甲、乙两河流入海口附近未出现大城市的原因是
 A. 入海口附近, 地势低平, 洪水威胁大
 B. 河流入海口附近的航运价值不大
 C. 甲河流入海口附近地区的气候过于湿热
 D. 乙河流的入海口不断变迁

图 19 为北冰洋部分航线示意图。读图回答 31~32 题。

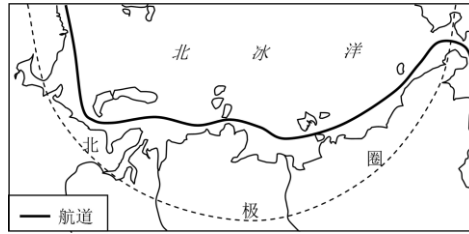


图 19

31. 图中北部地区海岸线很长，港口却很少，其主要原因是()
- A. 海水温度低，冰封时间长
 - B. 沿岸河流少，淡水补给难
 - C. 人口密度低，经济腹地小
 - D. 大雾天气多，极夜时间长
32. 有人预测北冰洋航线将成为世界上最繁忙的航线之一，试推测其理由是()
- A. 全球气候变暖，海冰面积减少
 - B. 沿岸石油、煤炭丰富，运输量大
 - C. 顺着北冰洋洋流航行，省时省油
 - D. 缩短了西欧与东亚及北美的航程

二、综合题：本大题共 4 小题，共 40 分。

33. 图 20 为某月世界局部区域等温线分布图，读图回答下列问题。（11 分）

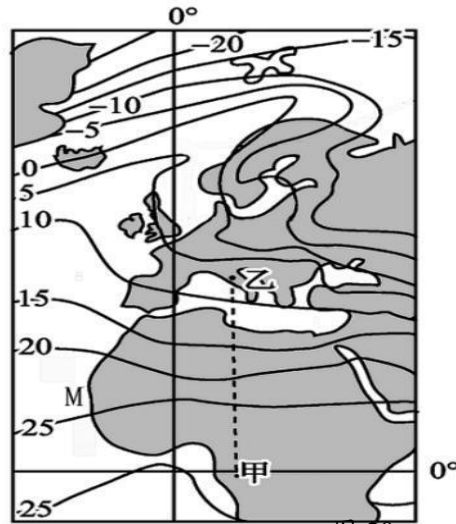


图 20

- (1) 该图表示 _____ 月（1 或 7）等温线分布，图中等温线的总体分布特征有 _____、_____，影响的主要因素 _____、_____。（5 分）
- (2) 图示季节乙地的气候特征是 _____，形成原因是 _____。（2 分）
- (3) 从甲地到乙地植被的变化体现了 _____ 地域分异规律，形成这种变化的原因有 _____。（2 分）
- (4) M 海域有世界重要渔场，分析 M 海域渔业资源丰富的原因 _____。（2 分）
34. 阅读材料，回答下列问题。（8 分）
- 材料一 图 21 为“陕西省一月和七月平均气温等温线分布及部分城市年均降水量图”。

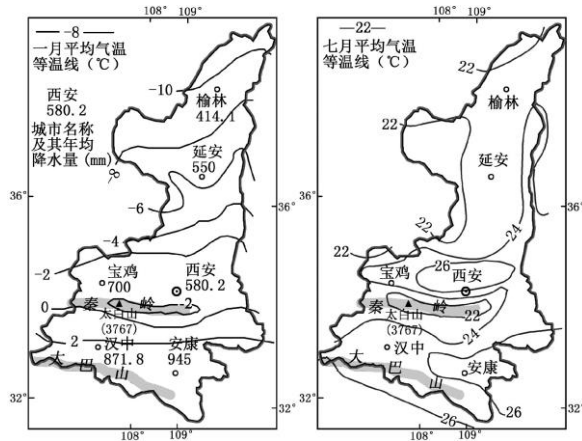


图 21

材料二 陕西省可以划分为陕南、关中和陕北三大地理单元。图 22 为“陕西省沿 109°E 经线地形剖面示意图”。

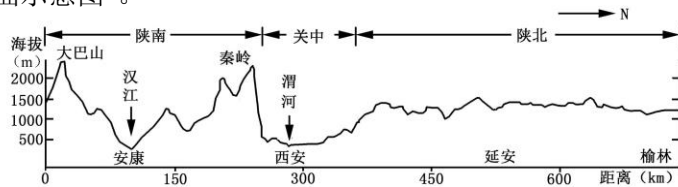


图 22

材料三 太白山是秦岭最高峰，海拔 3767 米，其南北坡地理环境差异明显。图 23 为“太白山南北坡气温垂直递减率逐月变化图”。

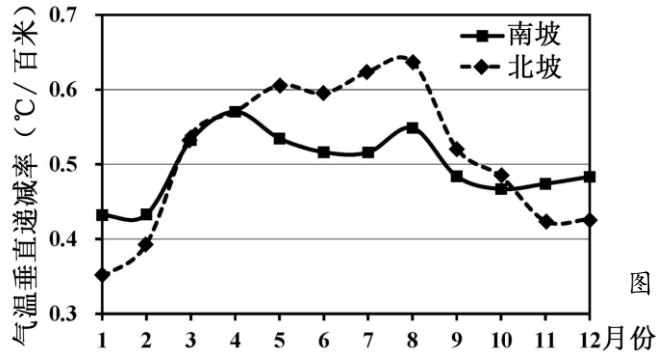


图 23

(1) 比较冬、夏季太白山南北坡气温垂直递减率的差异。

(2 分)

(2) 七月，在关中地区出现高温中心的主要原因是_____，

24°C 等温线沿晋陕边界向北凸出的主要影响因素是_____。(3 分)

(3) 从地形、植被等方面分析陕西省三大地理单元的自然景观特征。

陕南: _____ (1 分)

关中: _____ (1 分)

陕北: _____ (1 分)

35. 图 24 为“某区域等高线地形图”，A、B 为城镇。读图回答下列问题。(10 分)

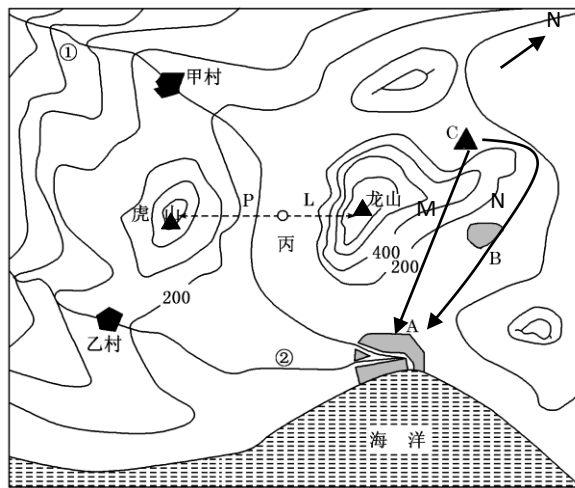


图 24

- (1) 乙村在甲村的_____方向，图中从①处能否直接看到②处？_____ (2 分)
- (2) 甲村与龙山相对高度的取值范围是_____到_____米之间。(2 分)
- (3) 如果想在 A、C 两地间修建公路，把 C 地的铁矿资源运到 A 地加工出口，M、N 两条线路中你会优先选择_____线路，选择的理由是_____ (3 分)
- (4) 若以丙处为出发点进行登山比赛，有 L、P 两条线路攀登龙山或虎山，如果你参加登山比赛，你将选择的登山线路是_____线路，并说明你所选线路的优缺点。 (3 分)

36. 读图 25 和图 26，回答下列各题。(11 分)

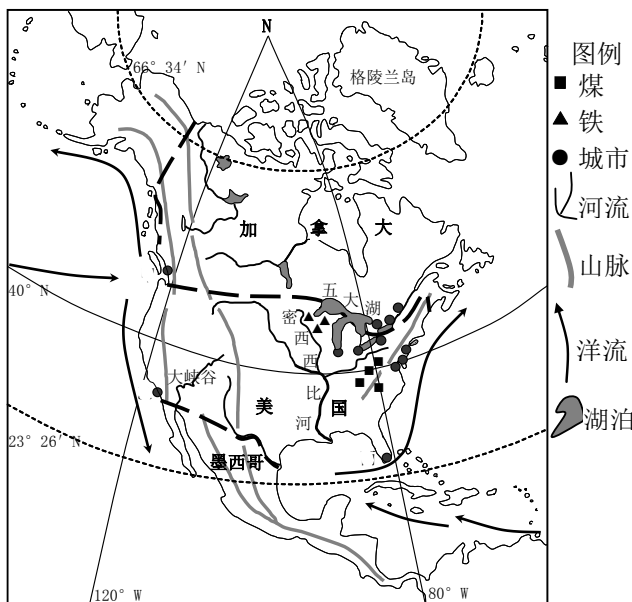


图 25

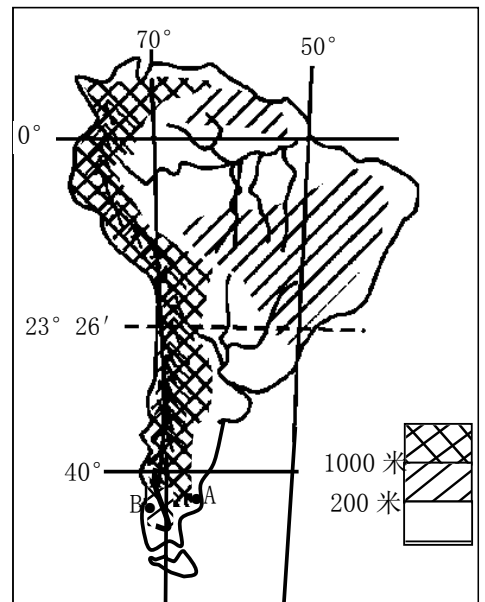


图 26

- (1) 据图分析南美洲地形主要特征_____。(3 分)
- (2) 试简析北美中部大平原对气候产生的影响。_____ (2 分)
- (3) 图 27 中甲、乙两幅气温曲线与降水量柱状图中，表示图 18 中 A 地气候特征的是_____图，表示 B 地气候特征的是_____图，导致两地降水差异的根本原因是_____。(3 分)

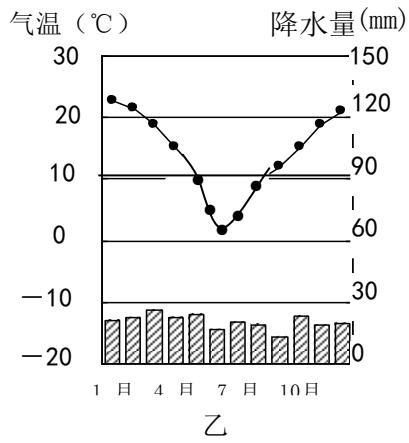
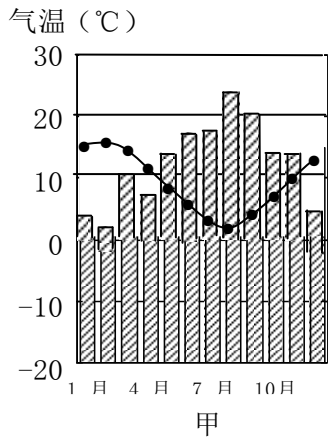


图 27

(4) 据图分析美国五大湖工业区早期工业发展的有利自然条件主要有_____。(3分)